

大阪市下水道局 東田 淳 堀田清美 建設企画コンサルタント株式会社 亘

1. まえがき 敷年来開削工法によって埋設された大口径ヒューム管のひびわれ発生が多発し、設計施工の両面から基本的な見直しが必要となつた。通常ひびわれが管頂に発生する事実から見直しを整理すると、(1)コンクリート支承ヒューム管に生じるモーメントの計算方法 (2)管に加わる土圧と分布形状の2点に取扱われる。(1)については第1報において現場計測に使用した管と同一仕様のコンクリート支承ヒューム管の載荷実験の解析を行い、支承コンクリート端部が完全固定となっておらず、拘束がゆるんだ形となつていうこと、現在一般的に使用されている下水道協会規格の提案する暫定K値は理論的に根拠が薄いことを指摘し、第2報においてFEMによるコンクリート支承ヒューム管の解析手法を示した。(2)については第3報において現場埋設実験の計測結果から、鉛直土圧は管頂に集中する台形分布となつており、管にとつて危険側の影響を与えることと指摘した。

本報告は現場計測の結果にもとづいて解析に使用する計算モデルを決定したので報告する。解析結果については第5報を参照されたい。

2. 現場計測結果 図1～6に埋設実験の概要と計測結果を示す。ヒューム管は内径

1800mm C型管で180°コンクリート支承(中B=2.50m)土被り4.50m、掘削面下3.00mである。埋戻土は山砂を用い、NO.1は20cmごとに、NO.2は100cmごとに埋戻しランマーで

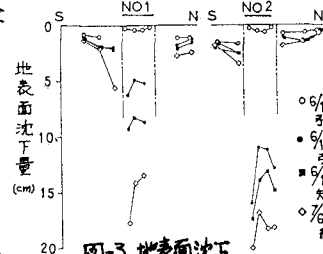


図-3 地表面沈下

締め固めた。矢板近くは木蝋による人力締め固めとした。図-2に埋戻土のE_cを示したがこの締め固め方法による差が認められる。工事で置矢板引抜とあるのは計測断面付近で一部抜けずに残った矢板があり、再度引き抜いたことを示す。矢板引抜はバイブルハンマーにより施工した。引抜時大部分の矢板の腹に土がついており、抜け跡は空洞になつた。地下水位は全工事期

間にわたって掘削深から下であった。図3、4に沈下および変形を示したが、いずれもNO.2の方が大きな値を示している。図3から矢板引抜前には埋戻土と矢板に摩擦力が働いており、矢板引抜後には摩擦力が消失したことがみてとれる。また矢板引抜後工事終了まで矢板抜き跡に埋戻土が流れこんだことがわかる。図4の埋戻内の傾斜計は矢板引抜後抜け跡に向って変形している。図5の土圧計の計測

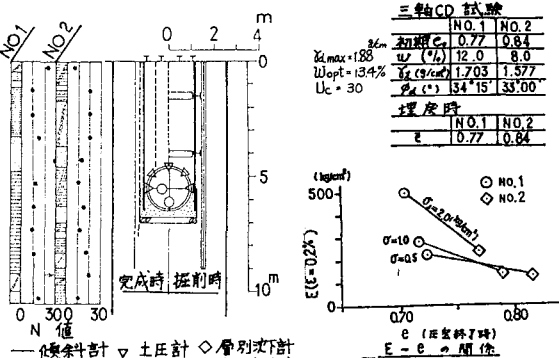


図-1 施工断面

図-2 埋戻土の土性

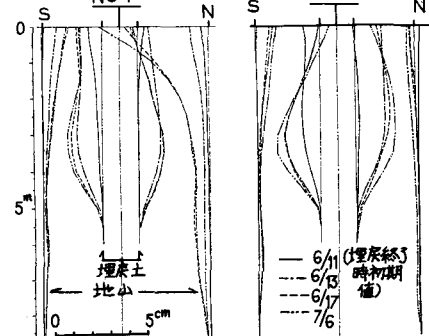


図-2 埋戻土の土性

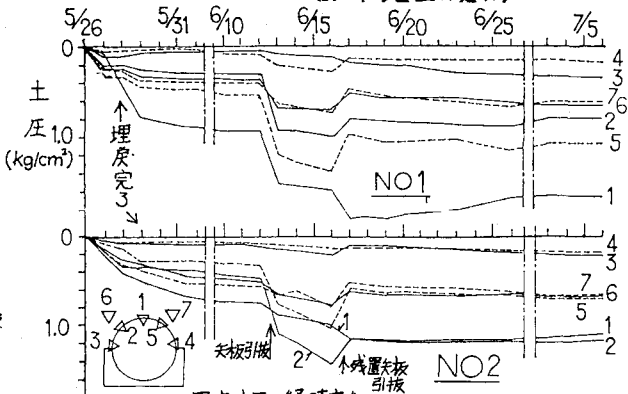


図-4 地盤の変形

図-5 土圧の経時変化

結果は、矢板引抜時K土圧が増大し、存置矢板引抜後では管頂に集中したことと示している。No.1とNo.2では土圧のかかり方に差があり、No.1では管頂の土圧が特に大きい。矢板引抜時、No.1.2とも管頂にクラックが発生し、以後管の変形は急速に進行した。図6 KRIによる施工中の埋戻土内のEの分布を示した。図中で囲んだ部分は他K比で密であることを示す。No.1では施工が進むにつれて次第に管の側方がゆるみ、管頂付近に上部の土塊がマスとして乘るようになりNo.2では端部は中央部よりゆるく、測定位置によって差があり、互いに柱状に独立した形となっている。またNo.2のGL+4.50m付近の矢板近くは他K比し、非常に密であり、図5の土圧計No.2の値が特に大きいことに対応している。

3. 計算モデルの決定 図7 FEM計算モデルを示す。埋戻土のEは各施工段階との分布と室内実験の結果から決定した。地山のEはV値から定め、Vは一般的に使用されている値を用いた。基礎地盤のEは平板載荷試験結果から求めた。

矢板引抜前の矢板と埋戻土の拘束は不完全であると考えられるので、矢板巾のダメーを導入し、数CaseのEについて試算し、計測と比較しE=5%と決定した。拘束がゆらければ管への土圧は集中する。また矢板引抜後の抜け跡のEは相当に小さいと想定されるのでE=22%とした。第5報に示す計算結果によれば埋戻土と地山はこの程度のEを与えることによって、ほぼ繋が切れる結果となっている。工事完了後の矢板抜け跡は次第に縮まって密になると考えられるのでEの値を大きくとった。No.2の中で示した各節点は横の要素K鉛直方向のせん断力を伝えず、鉛直方向の変形は自由なローラー条件とした。これは埋戻土がゆるいため、No.1に比較し表面沈下及び変形が大きいこと、Eの分布が柱状に独立していること、GL+4.50mに設置された土圧計No.1.6.7の計測値にあまり差が無く等分布に近いことなどから埋戻土が流動し、すべりおちる現象が生じたと考えられるためである。

計算結果は第5報に述べるが、計測結果と非常に良く一致しており、各施工段階における現象を説明できることでモデルになっていると考えられる。

参考文献

- (1) 第1報：土木学会第33回年次学術講演集
- (2) 日本下水道協会、下水道用鉄筋コンクリート管
- (3) 第2.3報：第14回国土質工学研究発表会
- (4) 第5報：土木学会第53回年次学術講演集
- (5) 土質調査法、P.201, P.205

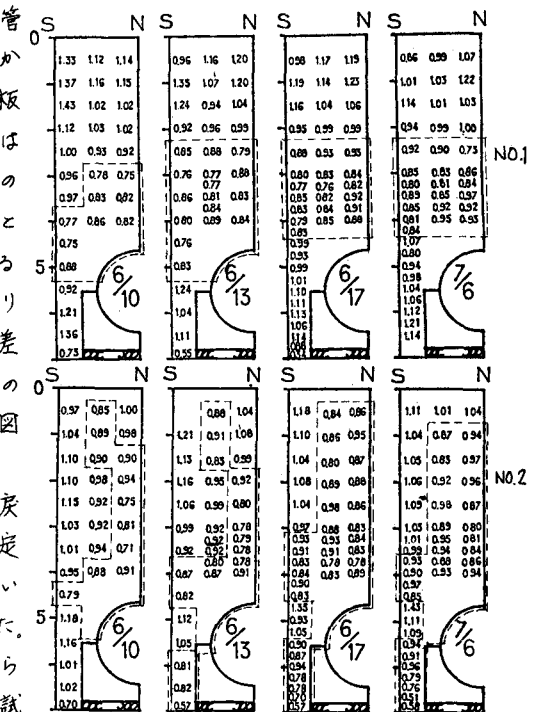


図6 Eの分布

NO. 1

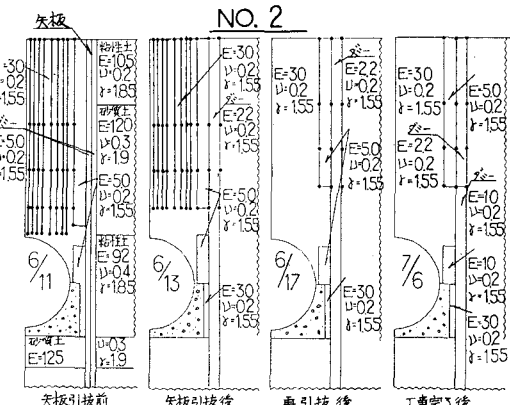
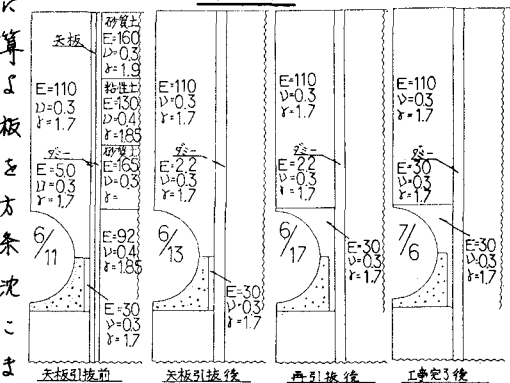


図7 FEM 計算モデル